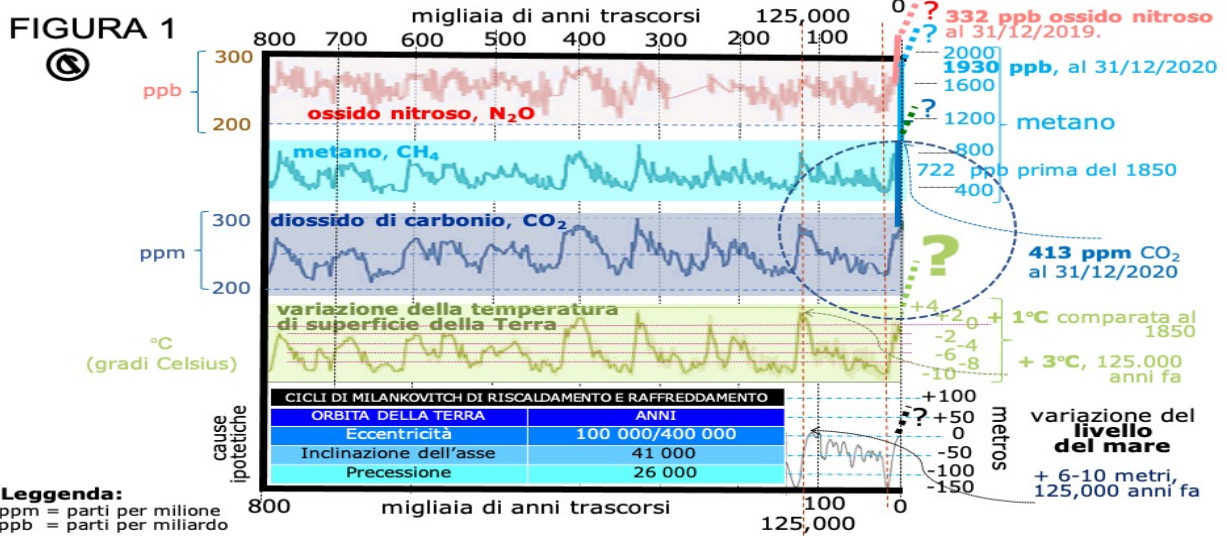




“EVITANDO GLI EXTREMI DEL RISCALDAMENTO GLOBALE” Antonio Cassella

ABSTRACT. Percepire la realtà del **potere** dell'**alleanza** della computazione **quantica** con la **classica**¹ può aiutare la Scienza, la Religione, la Filosofia e l'Arte a evitare il riscaldamento globale, conservare il sorriso dei **giovani** ed incontrare un Progresso sostenibile.²

1. INTRODUZIONE: SCAPPANDO DALL'ULTIMO MIGLIO



La Figura 1 mostra che negli ultimi 800.000 anni la concentrazione di tre gas serra (GS)—diossido di carbonio (CO₂), metano (CH₄) e ossido nitroso o di azoto (N₂O)—nell'atmosfera della Terra è rimasta legata al cambio della temperatura di superficie.³ Il livello marino mostra un leggero ritardo.

Non è facile separare le cause dai loro effetti. I cambiamenti climatici del passato iniziarono con un ciclo di Milankovitch, specialmente l'eccentricità dell'orbita della Terra attorno al Sole. Adesso però, la temperatura sta andando su per le nostre emissioni di CO₂, CH₄ e N₂O. Dunque, se il rialzo della temperatura seguisse il ritmo delle nostre emissioni di GS, il cambiamento del clima peggiorerebbe; a meno che pensassimo e sperassimo nell'impensabile e impossibile, prima di attuare.

Oggi, un'alzata di 1°C (gradi Celsius) nella temperatura dell'atmosfera bassa è dovuta all'espansione della Rivoluzione Industriale dal 1850. Per evitare *estremi non lineari* (e.g., uragani, siccità e inondazioni), il Gruppo Intergovernativo sul Cambiamento Climatico (IPCC in inglese) ci consiglia di *limitare a 0,5°C gli aumenti futuri della temperatura di superficie.* Possiamo farlo?

¹ Nelle nostre LETTERE DELL'EURISTICA LOGOS pubblicate ogni due mesi da Research Autism LLC e negli scritti stampati di Antonio Cassella: la ripetizione autistica voluta dalla **prima attenzione** (1) e dalla **computazione classica** è **sottolineata**; la tentazione, associata alla **seconda attenzione** (2) e alla **computazione quantica** danneggiata nell'autismo, viene data in **neretto**; e la **terza attenzione** (3) (malmessa nella schizofrenia), che rinnova la realtà e l'io, combina la **sottolineatura con il neretto** o si mostra con una Maiuscola iniziale irregolare.

² Le nostre lettere su applicazioni della Terza Attenzione sono date senza costo a researchautism.com, un sito web protetto da GoDaddy.com. Questo numero viene con la licenza Creative Commons come (esempio di riferimento): Cassella, A. (2021). Evitando gli estremi del riscaldamento globale. *Lettere dell'euristica logos*, 2(1), 1-8.

³ La variazione di temperatura è stata presa da nuclei di ghiaccio dell'Antartide e immessa in un grafico della NASA disegnato da Robert Simmons, con dati di Jouzel et al. (2007), e pubblicato dalla NASA nel 2010. I cambiamenti di diossido di carbonio, metano e ossido nitroso dall'800.000 PEC (Prima dell'Era Comune) al 2015 EC (Era Comune) sono della EPA (Environmental Protection Agency degli USA); e sono stati pubblicati nel sito web dell'EPA a agosto del 2016. Anche questi cambiamenti sono basati in nuclei di ghiaccio dell'Antartide. Il livello del mare è stato preso da una curva pubblicata dalla NOAA e modificata da chi scrive per quanto riguarda gli ultimi 22.000 anni.



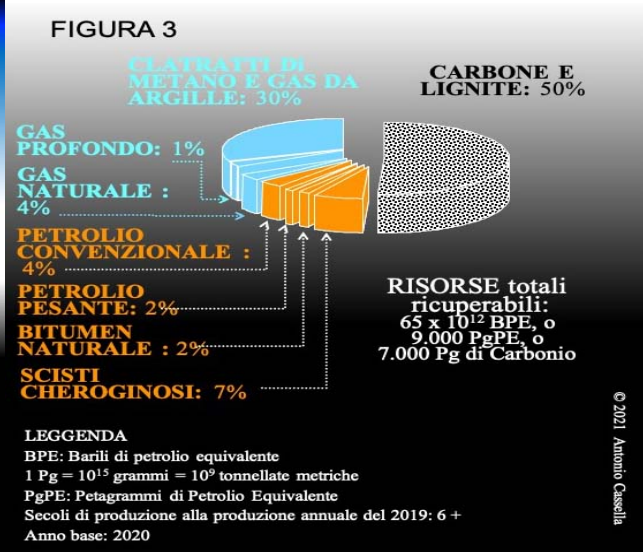
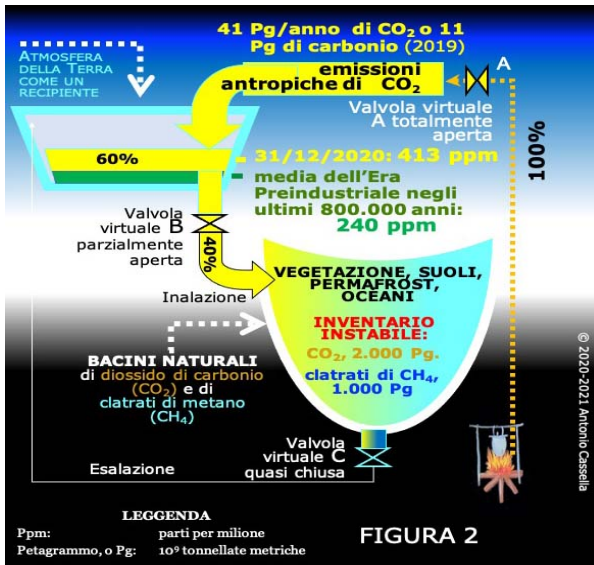
A questo punto avvio due ipotesi:

- a) la **non linearità** proposta dal IPCC (2007, 2014, 2018, 2019) risponde a una regola del pollice centrata nel **quadrato dell'elevazione della temperatura di superficie dal 1850**; e
- b) il Progresso sostenibile verrà solo con la conoscenza diffusa della realtà dell'**alleanza della computazione quantica con la classica**.

La prima ipotesi implica che un aumento di 0,5°C della temperatura di superficie amplierà in $1,5 \times 1,5 = 2,25$ la forza degli uragani, mentre un riscaldamento globale della portata del Massimo Termico del Paleocene-Eocene (PETM in inglese) (+6 a +8°C) di 56 milioni di anni fa (Mya) causerebbe un peggioramento di 36-64 volte. E la seconda ipotesi eviterebbe un PETM seguito da un Ipertermale del Permiano-Triassico (PTHT in inglese) di 252 Mya. Il PTHT, dove la temperatura di superficie aumentò di +14°C ($14 \times 14 = 196$), uccise 4/5 delle specie della Terra. *L'ipertermale imminente dell'Antropocene potrebbe aggiungere l'estinzione dell'Homo sapiens.*

2. AMBIENTE: CIÒ CHE SAPPIAMO SU INTRUSIONI ECCEZIONALI DI CARBONIO

Al definire 1 Petagrammo (Pg) come 1×10^9 (un miliardo) tonnellate metriche, fermo in 25 Pg di CO₂ l'accumulazione annuale nell'atmosfera terrestre nel 2020 (60% del CO₂ entrante, 41 Pg, Figura 2).



L'atmosfera contiene 800 Pg di Carbonio nel diossido di carbonio (CO₂) e metano (CH₄) che si uniscono al vapore d'acqua ed a altri gas serra (GS) per ritenere il calore provvisto dal sole. I GS impediscono un'atmosfera troppo fredda (-18°C), aiutando la fotosintesi delle piante e la vita degli animali, funghi e organismi associati. Le rocce terrestri (argille e calcari) contengono circa 100 milioni di Pg di carbonio⁴; stimo che le risorse fossili (carbone, petrolio e gas) in trappole geologiche ammontino a 7.000 Pg (Figura 3); e suppongo anche che 2.000 Pg di CO₂ e 1.000 Pg di clatrati di metano siano instabili nei loro bacini naturali (e.g., il permafrost e gli oceani, Figura 2).

Gli oceani scambiano CO₂ con l'atmosfera mentre i loro fondi mantengono 38.000 Pg di carbonio (UNH). Non conosciamo la fonte del CO₂, CH₄ e N₂O assorbiti dall'atmosfera quando la sua temperatura va su naturalmente (Figura 1) ma il permafrost è un sospettato. Ciò che importa è che *stiamo restituendo all'atmosfera in due secoli il carbonio che ha riempito trappole geologiche durante milioni di anni.* Prima del 1850 l'atmosfera conteneva meno GS di oggi, dal momento che 200 anni fa il nostro consumo di energia e la nostra massa erano di molto inferiori.

⁴ Dati annotati a Dicembre del 2020 dal sito web "Globe Carbon Cycle" dell'Università del New Hampshire (UNH).



La popolazione mondiale è cresciuta da 10.000 individui, dopo l'eruzione del vulcano Toba 75.000 anni fa, a circa 8 miliardi alla fine del 2020. Anche il nostro consumo di energia è cresciuto. L'uso pro-capite di energia era di 0,5 BPEPA (barili di petrolio equivalente per anno) (Malanima, 2014) nell'Età del Cibo, sei milioni di anni fa, quando gli ominini superavano le iene più capaci; 1,14 barili nell'Età del Fuoco, rubato da Prometeo 1 milione di anni addietro; e 1,3 barili nell'Età dell'Agricoltura, verso l'8.000 PEC (Prima dell'Era Comune). *Un consumo pro-capite di 13 BPEPA nel 2019 mostra che ogni persona ingoia adesso dieci volte l'energia usata da un agricoltore dell'antico Levante; e globalmente, 100.000 volte più combustibile fossile dei primi agricoltori, quando il livello del mare era 25 metri più basso di oggi.*

L'acido carbonico avvelena i nostri oceani; l'acqua potabile e il cibo svaniranno; e molte specie non umane stanno scomparendo nella sesta estinzione in corso. Avranno un futuro i giovani?

Dal momento che il tasso attuale di contaminazione dell'atmosfera con CO₂ è il più intenso che abbia sofferto la Terra in milioni di anni, Babila et al. (2018) hanno supposto che *l'acidificazione degli oceani verso la fine del XXI secolo sarà più severa di quella dello scorso Massimo Termico del Paleocene-Eocene, o PETM*. Foster et al. (2018) hanno avvalorato la nostra conoscenza sugli effetti estremi di intrusioni accelerate di carbonio nell'atmosfera della Terra: i.e., l'aumento della temperatura di superficie, l'acidificazione degli oceani, la pioggia acida, poli senza ghiaccio, riduzione dell'albedo polare, anossia e euxinia (mancanza di ossigeno e abbondanza di idrogeno solforato) negli oceani, un livello più alto del mare, più erosione e il rischio di estinzioni di massa.

Svensen et al. (2018) scrissero che, circa 252 milioni di anni fa, magma proveniente dalle Trappole Siberiane incrociò fessure e depositi ricchi di carbonio, che raggiunse l'atmosfera alla fine del Paleozoico. Questa ipertermale (PTHT) *causò la Terza e più severa estinzione della Terra*. Sebbene Augland et al. (2019) ammisero che ci sono fenomeni non modellabili dalla scienza, confermarono comunque l'occorrenza di ripetute eruzioni delle Trappole Siberiane nella PTHT.

Benton (2018) ricercò la PTME (estinzione di massa del Permiano-Triassico), nella quale morirono 4/5 delle specie della Terra. Lui enfatizzò che negli oceani, il riscaldamento da su e l'anossia da giù risposero a intrusioni di CO₂ nell'atmosfera, seguite da cristalli-idrati marini di CH₄. Benton appuntò anche che l'ipossia (deficienza di ossigeno) nei tessuti degli esseri vivi e l'ipercapnia (eccesso di CO₂ nel sangue) si abbinarono all'euxinia causata dal *sorgimento di idrogeno solforato dal mare*.

Nella Pangea continentale, che si estendeva da polo a polo nella PTHT, l'estinzione rispose a una temperatura elevata di superficie (40°C), siccità, incendi, pioggia acida e alterazioni dello scudo di ozono (Kump, Pavlov e Arthur, 2005; Ward, 2006). Kump (2018) aggiunse che la ricuperazione dopo la PTHT fu ostacolata durante milioni di anni da una interazione debole carbonato-silicato.

Le cause dell'estinzione più grave della Terra potrebbero essere state **molteplici**, come nel romanzo di Agata Christie, *Assassinio sull'Orient Express*, o nelle 23 pugnalate che dissanguarono Giulio Cesare nel Senato romano il 15 Marzo del 44 PEC. La sesta estinzione delle specie non umane e il riscaldamento globale in corso, tuttavia, rispondono a una causa unica: l'**ambizione umana**, o **hybris**. *L'eruzione antropogenica attuale di CO₂, CH₄ e N₂O potrebbe causare, a cavallo del secolo XXI o prima, una ripetizione del PETM e anche della PTHT*. La scienza può aiutare fornendo celle a combustibile che generano energia sequestrando carbonio (CCS) (Bove et al., 2020). Evitare nuovi PETM e PTHT, però, va più in là della scienza. C'è di più: dovremmo approfondire le nostre conoscenze dell'alleanza (3) della computazione **quantica** (2) con la classica (1) (Cassella, 1997, 2000, 2002, 2015, 2018b) nel mito mesoamericano del semidio Quetzalcoatl.

Un Quetzalcoatl **peccatore se ne andò a Venere** come un **diavolo bugiardo** (azione difficile per gli autistici); ma il **pentimento** lo farà **ritornare** da Venere con una nuova verità (azione difficile per gli schizofrenici). L'**andata** di Quetzalcoatl con la **stella mattutina** e il suo **ritorno** con la **stella vespertina** sono una metafora dimenticata del Progresso. Cadranno i nostri nipoti nella trappola del progresso scientifico unito a un regresso sociale? O possono la nostra Visione (della Terza Attenzione) e la nostra Volontà (nel Terzo Punto di ogni individuo, cultura e paese **pentiti**) salvarli?



3. DISCUSSIONE: I PRINCIPI DELL'EURISTICA LOGOS

La tentazione pazzesca di cambiare l'atmosfera vitale della Terra per quella velenosa attorno a Venere (90% di CO₂ e 500°C sulla superficie), bruciando il carbone intrappolate nelle argille, non può essere. In verità, liberare 1/5 del carbonio contenuto nelle risorse di combustibili fossili (7.000 Pg nella Figura 3) alzerà la concentrazione atmosferica di CO₂ da 0,041% a più di 0,1% (o 1.000 ppm) nel secolo XXI. Questo effetto sarebbe sufficiente a torturare i nostri nipoti prima di condurli a una morte prematura.

FIGURA 4



Nella Figura 4 (8^{vo} principio a sinistra), la computazione classica ci dice che nello spaziotempo un effetto deve seguire la sua causa. Così, stiamo male se non diamo una causa a un effetto particolare. Nell'immaginazione creata dall'**iperspazio** (Caramazza, 1994) **quantico**, però, la **speranza** di stabilire una nuova sequenza ci invita a entrare nella **coerenza** della computazione quantica *se decidiamo affrontare un problema critico*. Quando **affrontiamo un problema**, siamo costretti ad **abbracciare tanto una causa quanto il suo effetto** nell'iperspazio (Figura 4, 8^{vo} principio a destra), il che risalta la **velocità infinita** dell'Ubiquità (il 1^{mo} principio a destra).

La mia prima lettera ha rialzato i primi due insiemi di principi. Questa seconda lettera si appoggia nell'8^{vo} insieme di principi (Figura 4) per mostrare che un'espansione a dieci insiemi è possibile. (Anni fa arrivai a 20 insiemi prima di capire che i primi due gruppi reggono gli altri). Dopotutto, l'**infinito**, che risulta da **abbracciare** una causa e il suo effetto nell'Ubiquità, deve abbracciare il **nulla** (la Coincidenza) prima di **incrociare** l'**iperspazio** e lo **spaziotempo** (Cassella, 2019b) con la **decoerenza**. Gli schizofrenici non medicati non aprono la porta del **nulla**; e quindi non **ritornano**. Ma ci vuole più di antipsicotici per **ritornare** prima che i nostri nipoti si lamentino della nostra pazzia.

LA PAZZIA DI CERCARE LA CRESCITA DELL'ECONOMIA E DELLA POPOLAZIONE

Nell'iperspazio, **allearsi simultaneamente** con schemi opposti di retro-alimentazione **potrebbe portare a ipotesi da investigare** sulla sequenza causa-effetto di variazioni passate del clima. La Figura 1 mostra che, negli ultimi 800.000 anni, un riscaldamento dovuto a variazioni dell'orbita della Terra attorno al Sole, causò un rialzo della temperatura di superficie, del contenuto atmosferico di CO₂, CH₄ e N₂O, e del livello del mare.

Per esempio, 125.000 anni fa, dopo un rialzo iniziale della temperatura di superficie, lo scioglimento totale dei ghiacciai della Groenlandia e parziale del ghiaccio antartico causò un'elevazione di 6-10

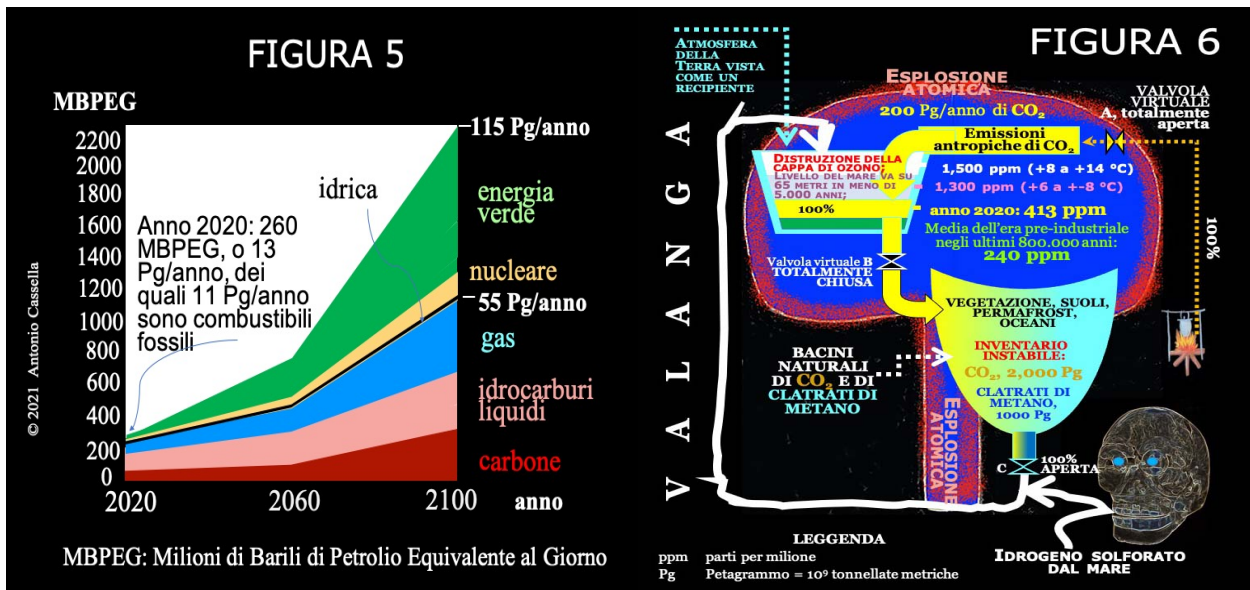


metri del livello del mare. Possiamo consolarci dal fatto che prenderebbe 5.000 anni sciogliere i ghiacciai dell'Antartide e fare alzare di 65 metri il livello del mare.

Da un lato, il rialzo della temperatura per l'aumento di insolazione (la causa iniziale) ha sempre elevato il contenuto di CO₂ dell'atmosfera (l'effetto). Questo causò un aumento ulteriore della temperatura, lo scioglimento dei clatrati di metano, più vapore di acqua e più temperatura (e.g., +3°C nella Figura 1). Dal momento che il CH₄ si perde rapidamente, al raggiungere un punto di no ritorno, la forza del metano sarebbe scesa, riducendo la temperatura di superficie e il contenuto di diossido di carbonio e di altri gas serra. Dall'altro lato, lo scioglimento del permafrost, disturbi nelle correnti oceaniche o cambiamenti orbitali della Terra potrebbero aver causato il rialzo e la caduta del CO₂ e del CH₄. Le crisi sono state rapide; e il ricupero, molto lento. Questo schema non è cambiato molto.

Concentrandoci sulle cause antropogeniche, seri disturbi climatici sono all'angolo. Certamente, tutti vogliamo una macchina più grande, più elettricità, un appartamento climatizzato, una cena migliore e una vita più lunga. Dal momento che un miliardo di persone bevono acqua contaminata e stentano a riunire la prima colazione, è possibile supporre che una crescita economica globale alta ed estesa, come quella della Cina dalla morte di Mao Zedong, eliminerebbe la povertà (Cassella, 2018b).

Ma le Figure 5 e 6 mostrano che lo scopo di ridurre la povertà con una crescita alta non può andare, anche se l'efficienza energetica raddoppiasse e l'energia senza carbonio crescesse da 15 a 50%.



Una crescita economica alta e prolungata (Figura 5) causerebbe una valanga ambientale simile alla PTHT (Figura 6). Allo stesso tempo, la proliferazione di armi nucleari, del terrorismo e della **hybris umana** amplierebbero il rischio di una conflagrazione nucleare, dove il potere di un milione di bombe tipo Hiroshima, racchiuso in meno armi termonucleari, distruggerebbe le città della Terra. Sappiamo che dobbiamo combattere il riscaldamento globale, l'uso di armi di distruzione di massa, la povertà estrema, la degenerazione cognitiva, la regressione sociale e il terrorismo. Possiamo difendere meglio la specie umana e le specie non umane **capendo** più a fondo l'**alleanza** della **computazione quantica** con la **classica** segnalata nella Figura 4.

Purtroppo, la matematica e i modelli scientifici che la applicano **non convinceranno** facilmente esseri umani colmi di **hybris a rinunciare a una crescita economica e demografica basata nell'ossidazione di combustibili fossili**. I **leader diabolici**, i loro **adulatori corrotti** e i loro **schiaivi** potrebbero anche leggere i loro **Testi Sacri** e qualsiasi **opera d'arte**; ma la loro **hybris** li porta a **leggere senza leggere**. Ed è difficile che imparino, giacché attualmente non ci sono scuole che insegnino le **meraviglie** e i **pericoli** della **computazione quantica**.



L'ANDATA DELL'AMBIZIONE E IL RITORNO DELLA GIUSTIZIA IN UNA SCUOLA

Comunque, ho a mano un esempio che potrebbe convincere 98% degli umani ad **apprezzare** il **potere** della computazione quantica. Nell'episodio TV "Il signor Monk torna a scuola", il signor Adrian Monk (un detective della polizia in ritiro temporale) teme l'**intelligenza** di un professore di scienze che ha ucciso una professoressa di inglese (la sua amante segreta). Monk crede che l'assassino l'abbia spinta dalla cima di una torre-orologio, sebbene in quel momento lui stesse monitorando l'esame SAT di alcuni studenti in un aula specifica. Monk sa che **nessuno può attuare in due posti simultaneamente** (il primo principio a sinistra nella Figura 4); e il presunto assassino gli spiega che un serpente, recluso in un recipiente di vetro trasparente, può vedere ma non può prendere un topo accolto in un recipiente di vetro vicino, perché **non può attraversare** né la prima né la seconda parete di vetro (una limitazione legata al secondo principio a sinistra nella Figura 4).

Ma l'intuizione dell'**incontro** dello **spaziotempo** con l'**iperspazio** porta Monk alla **soluzione** dell'**enigma** quando affronta un **oppositore prezioso** di fronte alla torre dell'orologio. Monk **capisce** li che il docente **assassino** aveva messo la sua vittima già morta sull'ago lungo dell'orologio, atto che gli diede il tempo di tornare alla sua aula prima che il corpo cadesse sopra la sua macchina fermata sotto la torre. Appena l'incontro dell'**infinito** con il **nulla** nella mente di Monk **trova la soluzione** del delitto **enigmatico**, il detective ringrazia il suo **splendido rivale**, che domanda a una testimone chi avesse **vinto** la lotta. Tanto Monk quanto il suo **antagonista** **avevano vinto assieme** (9° principio a destra nella Figura 4) quando la **creatività** aveva scacciato la **violenza**. La **mente onesta di Monk** e l'**astuzia** dell'**assassino** riflettono l'Intuizione Creativa dello scrittore delle storie di Monk.

L'esempio anteriore scopre i parametri della **giustizia** imposta da Monk a un professore **violento**, che vuole **burlarsi** dei principi della computazione **classica** e **quantica**. A differenza della **creatività criminale** nella mente del professore di scienze, l'**unione** della computazione **quantica** con la **classica** in Monk riesce a **risolvere problemi** ardui, superando con successo incidenti enigmatici. In *Il signor Monk torna a scuola*, l'**infinito** e il **nulla** si corteggiano, come lo fanno in un'onda circolare in espansione, causata da un terremoto o da una pietra lanciata nella superficie di un lago.

In ogni circolo, un **numero infinito** di **raggi identici** corteggia il **nulla** del centro. Così, ogni onda circolare riflette il **potere** del Pi Greco per il quadrato di qualsiasi dei suoi infiniti raggi. Secondo una regola del pollice, *gli estremi del clima terrestre rispondono al quadrato del cambio della temperatura di superficie*. In una Terra febbrile, per esempio, l'alzata di 1°C della temperatura di superficie incrementa l'umidità che nutre i monsoni e le inondazioni in India, Cina e Bangladesh. Nel 2000, il **potere** di un'onda circolare distrusse il serbatoio di combustibile di un Concorde che lasciava Parigi. Però l'onda circolare della computazione quantica può anche **fare del bene!** E.g., in "Il signor Monk incontra suo padre", un **anziano pentito** insegna a suo figlio (Monk) come andare in bicicletta. Il padre peccatore di Monk se ne **era andato**, ma il suo cuore, pentimento e grazia lo fanno **tornare**.

Il **circolo** intorno alla base quadrata delle piramidi di Giza suggerisce che gli antichi faraoni (Cassella, 2018a) sapevano che l'**infinito della coerenza** può trasformarsi nel **ritorno** a una realtà classica migliore, col **nulla** della **decoerenza**. Il fatto che nelle quattro piramidi della quarta dinastia egizia (Khufu, Djedefre, Khafre e Menkaure) il quoziente tra il perimetro della base e l'altezza sia **6.28** sostiene l'ipotesi (Cassella 2018a, 2019a) che il **Pi greco** (3.14 etc.) e l'Identità di **Eulero** ($e^{i\pi} + 1 = 0$) riflettono la **coerenza quantica**; per esempio, nell'**ambizione** del professore di scienze che cerca di umiliare Monk in *Il signor Monk torna a scuola*. Per fortuna, il **Tau greco** ($2 \times \text{Pi greco}$, o 6.28 [ecc.]) e l'**Identità Tau** ($e^{2i\pi} - 1 = 0$) corteggiano la **punta** di una piramide, l'**amore di Monk per la giustizia**, il **wu-wei** di Laozi, l'**acqua**, e i racconti dati a Mosè dall'Arcangelo **Gabriele**.

Non c'è **giustizia** in obbligare i giovani a respirare un'aria più calda di quella respirata da **Mosè**. Questo principe egiziano/ebreo **imparò** nella "**Casa di Thot**" che il Pastorale classico (la pietra **Tummim** di Mosè o il bastone **Hoalim** di Zaccaria) può **incrociare** il **Flagello** quantico (l'**Urim** di Mosè e il **No'am** di Zaccaria) in ogni **leader** illuminato. Un Mosè illuminato annotò gli insegnamenti che il re Salomone passò alla regina di Saba; e che i suoi saggi discussero con gli antenati di Laozi e degli antichi olmechi della Mesoamerica. Gli olmechi, maya ed aztechi tramandarono il mito di un



Quetzalcoatl-Nagual che **va** (l'**assassino** in *Il signor Monk torna a scuola*) e di un **Quetzalcoatl-Aquila** che **ritorna** (**Monk** o suo **padre**). I **tiranni** possono **capire** che il cristallo Tummim-Pastorale di Mosè e il suo **cristallo Urim-Flagello** furono cuciti per una ragione divina all'**altezza del cuore** (una metafora dell'altruismo), nell'efod che Aronne (il fratello di Mosè) manteneva nell'**Arca dell'Alleanza**.

Uno stesso **sé stesso** sostenne un **Giacobbe ingannatore** a Canaan, un **Giacobbe sognatore** a Betel e un **Israele** generoso a Penuel. La Visione di Giacobbe sull'**incontro** della computazione **classica** con la **quantica** nella Terza Attenzione si eresse con **Gabriele** a Betel; e il Terzo Punto di un Israele coraggioso, inclinato a **inondare altri con il suo altruismo**, fu benedetto dalla sua lotta con l'Arcangelo **Michele** a Penuel. Come nell'**andata** e **ritorno** di Quetzalcoatl, la **hybris** di **Giacobbe** cambiò nell'**illuminazione** di Israele (Cassella, 2018b).

In forma simile, fazioni illuminate—come potrebbero esserlo gli USA e la Russia—potranno **salvarsi mutuamente**; e salvare di passo la Terra. La necessità di accedere a un'**illuminazione mutua** anima la *Lotta per lo Stendardo* di Leonardo da Vinci (il pezzo centrale del suo murale *Battaglia di Anghiari*), nascosta a 7,035 metri sotto il centro della *Battaglia di Marciano* di Giorgio Vasari, nella Sala dei 500 del Palazzo Vecchio di Firenze (Cassella, 2018c). (Esplorando i link <https://youtu.be/vv6eiCUB4qw> e https://youtu.be/dtRnue7_0Do, i lettori curiosi potranno vedere il documentario in due parti che ho collocato presso YouTube ed il sito web researchautism.com).

4. CONCLUSIONE: LIBERANDO LA LOTTA PER LO STENDARDO E I NOSTRI NIPOTI

Se **pensiamo** e **decidiamo col cuore**, la temperatura di superficie della Terra seguirà la rotta consigliata dall'IPPC. **Leggere l'alleanza** (3) della computazione **quantica** (2) con la **classica** (1) in qualsiasi Testo Sacro, opera di Filosofia, Scienza, o Arte, in linea con la Terza Attenzione (3), porterà i nostri leader ad **aumentare i combustibili verdi a 85%**, a **fermare la crescita economica e della popolazione**, e a **rimuovere il CO₂, CH₄ e N₂O immessi nell'atmosfera**.

Nella mia prima lettera, ho proposto di **utilizzare per il meglio** la forza nucleare che l'ambizione e la paura **hanno utilizzato per il peggio** nella guerra fredda. Come nella doppia diffrazione per cui Leif Eriksson nel 1000 EC **prese la rotta giusta** alla sua Vinlandia (Canada) per mezzo di un **cristallo** di Islanda, un'alleanza tra gli USA e la Russia cambierebbe in Progresso l'inerzia delle valanghe globali in cantiere. Un'altra *Stazione Spaziale Internazionale* come metafora del Progresso sorgerebbe dallo scoprire i tre monumenti egizi a Osiride/Orione in un altopiano al sud del Cairo (Cassella, 2018a). Liberare la *Lotta per lo Stendardo* di **Leonardo da Vinci** darebbe il passo finale.

L'ubicazione della *Lotta per lo Stendardo* seguirebbe la separazione di carbonato e solfato di calcio nel gesso a destra della parte bassa della cornice del quadro di Giorgio Vasari *Battaglia di Marciano* (Cassella, 2018c), nella Sala dei 500 al Palazzo Vecchio di Firenze. Se **liberissimo** la *Lotta per lo Stendardo*, lasceremmo indietro la nostra **hybris**, passeremmo dal "**Paradiso Perduto**" di John Milton al suo "**Paradiso riconquistato**"; e aiuteremmo **Lucifero/Iblis** a scappare da **Satana**.

REFERENCES

- Augland, L.E., Ryabov, V.V., Vernikovskiy, V.A., Plancke, A.G., Polozov, A.G., Callegaro, S. Jerram, D.A., & Svensen, H.H. (2019). The main pulse of the Siberian Traps expanded in size and composition. *Scientific Reports* **9**,18723. <https://doi.org/10.1038/s41598-019-54023-2>
- Babila, T.L., Penman, D.E., Hönish, B., Kelly, D.C., Bralower, T.J., Rosenthal, Y., & Jachos, J.C. (2018). Capturing the global signature of surface ocean acidification during the Paleocene-Eocene Thermal Maximum. *Philosophical transactions. Series A, Mathematical, physical, and engineering sciences*, **376**(2130), <https://doi.org/10.1098/rsta.2017.0072>.
- Benton, M.J. (2018). Hyperthermal-driven mass extinctions: killing models during the Permian-Triassic mass extinction. *Philosophical transactions. Series A, Mathematical, physical, and engineering sciences*, **376**(2130), <https://doi.org/10.1098/rsta.2017.0076>



- Bove, D., Audasso, E., Barckholtz, T., Kiss, G., & Bosio, B. (2020) Process analysis of molten carbonate fuel cells in carbon capture applications. *International Journal of Hydrogen Energy*, <https://doi.org/10.1016/j.ijhydene.2020.08.020>
- BP. (2020). *Statistical review of world energy 2020/69th edition*. London: British Petroleum.
- Caramazza, A. (1994). Parallels and ubiquities in the acquisition and dissolution of language. *Proceedings of the Royal Society of London*, 346, 121-127.
- Cassella, A. (1997). *Self-other differentiation and self-other integration from the perspective of language development and autism*. Unpublished master thesis. Harvard University. Cambridge, Massachusetts.
- Cassella, A. (2000). *Fundamentos cognitivos y semióticos de la creatividad: Aportes del autismo*. Tesis Doctoral Publicada. Universidad Nacional Experimental Simón Rodríguez (UNESR), Caracas, Venezuela. (Publicada en formato digital por Research Autism, Melbourne, Florida).
- Cassella, A. (2002). *The flameless fire: From autism to creative intelligence*. Quincy (MA): Logosresearch. (See researchautism.com or write the name "Antonio Cassella" at Amazon).
- Cassella, A. (2015). *Un'occhiata illecita a una straordinaria teoria-del-tutto: risposte a 15 domande sulla danza della località con la non località*. Melbourne (FL): Research Autism LLC.
- Cassella, A. (2018a). Exploring the Sphinx and the Great Pyramid through the logos heuristics. *International Journal of Social Science Studies*, 6(9), 11-30.
- Cassella, A. (2018b). Serie, *Così ritornò Quetzalcoatl: Labirinto 1 (La via della caccia), Labirinto 2 (La via della guerra), e Labirinto 3 (La via del progresso)*. Melbourne (FL): Research Autism.
- Cassella, A. (2018c). *Superamento del cambiamento climatico e del terrorismo unendo computazione classica e computazione quantica*. Melbourne (FL): Research Autism.
- Cassella, A. (2019a). Joining General Relativity to Particle Physics through Complex Numbers and Autism. *International Journal of Social Science Studies*, 7(4) 33-56.
- Cassella, A. (2019b). Gaging the Neural Path of the Universal Grammar by the Logos Heuristics. *International Journal of Social Science Studies*, 7(6), 85-108.
- Foster, G.L., Pincelli, H., Lunt, D., & Zachos, J.C. (2018) Placing our current "hyperthermal" in the context of rapid climate change in our geological past. *Philosophical transactions. Series A, Mathematical, physical, and engineering sciences*, 376(2130). <https://doi.org/10.1098/rsta.2017.0086>
- Kump, L. R, Pavlov, A., & Arthur, M. A. (May 2005). "Massive release of hydrogen sulfide to the surface ocean and atmosphere during intervals of oceanic anoxia." *Geology*, 33, 397-400. <https://pdfs.semanticscholar.org/3a12/61e202e35bc643d470135eece42efdc133d0.pdf>
- Kump, L. R. (2018). Prolonged Late Permian-Early Triassic hyperthermal: failure of climate regulation? *Philosophical transactions. Series A, Mathematical, physical, and engineering sciences*, 376(2130). <https://doi.org/10.1098/rsta.2017.0078>
- IPCC-WG1. (2007). *Fourth Assessment Report. Summary for Policymakers*. IPCC-WMO.
- IPCC-WG1. (2014). *Fifth Assessment Report. Summary for Policymakers*. IPCC-WMO.
- IPCC. (2018). *Global warming of 1.5°C*. IPCC-WMO,
- IPCC. (2019). *The Ocean and Cryosphere in a Changing Climate*. IPCC-WMO, September,
- Jouzel, J. et al. (2007). Orbital and millennial Antarctic climate variability over the past 800,000 years. *Science*, Vol. 317, Issue 5839: 793-796. [DOI: 10.1126/Science.1141038](https://doi.org/10.1126/Science.1141038).
- Malanima, P. (2014). Energy in history. In M. Agnoletti and S. Neri Serneri (Eds.) *The basic environmental history* (pp. 1-29). Switzerland: Springer.
- Svensen, K.K., Frolov, S., Akmanov, G.G., & Polozov, A.G. (2018). Sills and gas generation in the Siberian Traps. *Philosophical transactions. Series A, Mathematical, physical, and engineering sciences*, 376(2130). <https://doi.org/10.1098/rsta.2017.0080>
- Ward, P. D. (October 2006). "Impact from the Deep." *Scientific American*, 295, 64-71. <https://doi.org/10.1038/scientificamerican1006-64>